

스테레오 비전 시스템을 이용한 조직배양 식물줄기부의 3차원 악점(握點)검출

Detection of Three Dimensional Gripping Point of Tissue Culture Plants Stem Using Stereo Vision System

이 현동* 김 기대* 김 찬수* 김 정필* 정 혁**
정회원 정회원 정회원 정회원
H. D. Lee K. D. Kim C. S. Kim J. P. Kim H. Jung

1. 서 론

식물 조직배양이란 세포, 조직, 또는 기관 등을 식물체로부터 무균적으로 분리하여 적당한 조건하에서 배양하여 생육시키는 기술을 말한다. 조직배양의 대상작물로 인공씨감자를 들수 있는데 인공씨감자란 감자줄기의 눈이나 켈러스를 추출하여 인공배지에 배양하면서 몇가지 특정한 처리(고농도 탄수화물, 저온, 단일조건)를 통하여 생성한 완두콩만한 초소형 감자를 말한다. 이 초소형 감자는 과종시 일반 씨감자의 바이러스, 곰팡이, 박테리아등의 병원균 감염현상을 막을 수 있으며, 인공씨감자로 재배된 감자는 일반 씨감자로 재배된 감자 보다 양질이며 다량으로 생산된다.

인공씨감자의 조직배양에서는 이식과정이 필수적인 요소이지만 이 이식과정에서는 숙련된 노동자가 무균환경하에서 작업을 행하기 때문에 생산비의 60 - 70%정도가 인건비로 소요된다. 따라서 생산비에서 차지하는 인건비를 감소시킴으로 인한 생산비의 감소를 위하여 조직배양체 이식의 자동화가 요구되고 있는 실정이다.

조직배양 식물뿐만 아니라 원예작물 등의 이식 작업시 식물의 위치 및 식물의 집을 위치의 3차원 정보는 필수적인 요소가 된다. 3차원 위치정보를 얻기위한 방법으로는 1대의 카메라와 초음파를 이용하는 방법, 1대의 카메라와 구조광을 이용하는 방법, 그리고 2대의 카메라를 이용하는 방법등이 있다. 1대의 카메라와 초음파 또는 구조광을 이용한 3차원 정보 인식은 식물의 위치검출시 식물 1개만이 있을 경우에는 어느정도 정확한 위치를 검출할 수 있지만 여러개의 식물을 동시에 인식하게되면 거의 인식하지 못하게 된다. 반면 카메라 2대에 의한 스테레오 비전시스템의 3차원 위치검출은 각각의 카메라에서 얻어진 2차원 정보에서 3각측량법을 이용하여 3차원 정보를 추출하기 때문에 여러개의 식물을 동시에 처리할 수 있다는 장점을 가지고 있다.

따라서, 본 연구는 식물 조직배양의 생산비를 낮추기 위한 자동화의 하나인 조직배양체 이식을 위한 이식로봇 시스템의 개발에서 로봇 그리퍼가 집어야 할 식물줄기부의 3차원 악점(握點)을 검출하는데 목적이 있다.

* 충남대학교 농과대학 농업기계공학과

** 생명공학 연구소

2. 재료 및 방법

가. 대상작물

본 연구에 사용된 작물은 조직배양으로 6주 경과된 인공 씨감자 줄기부이며, 품종은 대지품종을 사용하였다. 그림 1은 실험에 사용된 인공씨감자 줄기부의 배양모습을 나타낸 것이며, 인공씨감자가 열리기 바로직전의 식물체를 실험에 사용하였다.

기존의 식물 조직배양방법은 배양병이나 삼각플라스크등의 용기에 배양시키는 방법을 사용하기 때문에 이식작업을 하기 위해서는 사람이 직접 핀셋으로 식물을 꺼내는 식으로 작업을 하였다. 그러나 이러한 배양 및 이식방법은 자동화의 걸림돌이 된다. 따라서 이식작업을 자동화 하기 위해서는 로봇 그리퍼의 접근이 용이하고 식물의 위치를 정확하게 알아야할 필요성이 있기 때문에 기존의 배양병이나 삼각플라스크등의 용기는 사용하기에 부적절하다고 사료되었고, 그에따라 그림 1과 같이 배양액을 담아 식물을 이식시킨 페트리디쉬(petri-dish)를 윗부분이 넓고, 깊은 용기에 넣어 배양시켜 실험에 사용하였다.

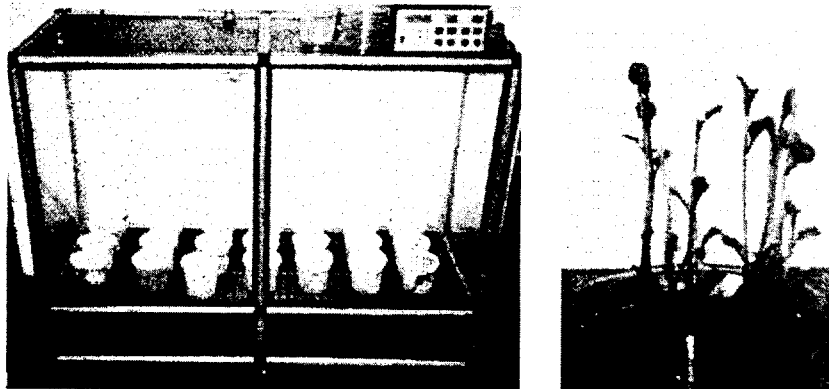


Fig. 1 Cultivating of artificial potato seedling

나. 하드웨어 설계

본 연구의 하드웨어는 이미지정보를 입력받는 화상인식부, 입력받은 이미지정보를 PC에 전달하는 디코더와 이미지 보드, 그리고 입력받은 이미지를 실시간 주사할 수 있는 엔코더 및 모니터로 구성되어 있다. 그림 2는 스테레오 비전시스템의 구성도를 나타낸 것이다. 또한 화상인식부는 식물을 올려놓는 테이블, 식물과 배경을 분리시킬 수 있는 백 보드, 이미지를 입력받는 카메라 2대, 그리고

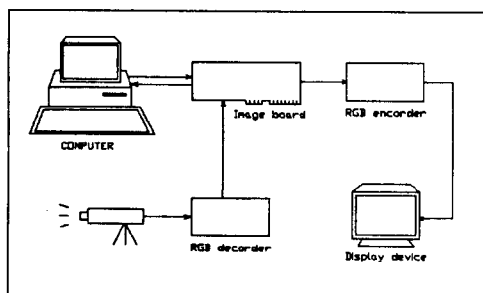


Fig. 2 The Schematic diagram of stereo vision system

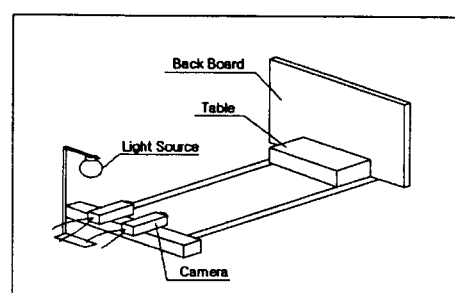


Fig. 3 The schematic diagram of the part attaining image

Table 1 The specification of stereo vision system

Item	Maker	Model
Computer	Samsung	Pentium pro
Camera	Pulnix America	TMC-7
Image board	Data Translation	DT2871
RGB decoder	Kramer	VM-19
RGB encoder	Kramer	4041C

광원으로 구성된다. 특히 테이블과 백 보드는 연결되어 있으며 카메라와의 거리를 변화시킬 수 있도록 테이블 밑에 캐스터를 부착하여 식물과 카메라간의 사이를 조절할 수 있도록 하였다. 광원은 220V, 0.13A, 20W 삼파장 주광색 형광등을 사용하였으며 광원의 위치에 따른 식물의 그림자가 이미지에 입력되지 않도록 이미지입력 방향과 동일한 방향으로 광원을 설치하였다. 그림 3은 화상인식부의 구성도를 나타낸 것이다.

2대의 카메라는 서로간의 간격을 조절할 수 있도록 LM 가이드 위에 설치하였으며, 이로 인하여 두 카메라의 X축을 일치시켜 X축이 에피폴라 라인(epipola line)이 되도록 설정하였다. 표 1은 본 연구에 사용된 시스템의 사양이다.

4. 이미지 캘리브레이션

본 연구는 입력받은 이미지정보를 통해 식물의 약점(握點)을 검출하는 것이 목적이며, 그에따라 이미지정보상의 거리를 알아야 한다. 이는 이미지에 나타난 거리 1 pixel당 실제 거리의 산출이며, 본 연구에서는 실험을 통한 X, Y축의 이미지 캘리브레이션을 실시하였다.

먼저, X축의 경우 그림 4에서 보는바와 같이 a, b, c, d를 일정하게 위치시킨 물체를 Z값을 변환(400, 450, 500, 550, 600mm)시켜 왼쪽 이미지와 오른쪽 이미지에서 얻은 픽셀단위인 X_L , X_R 을 얻은 후 삼각형의 닮은 조건으로 구한 식(1), 식(2)값과의 관계에 의하여 1 pixel당의 실제거리(mm)를 산출하였다.

$$X_L = \frac{f \cdot c}{Z} = \frac{f \cdot (a - c)}{Z} \quad \text{----- 식(1)}$$

$$X_R = \frac{f \cdot X}{Z} = \frac{f \cdot (d - c)}{Z} \quad \text{----- 식(2)}$$

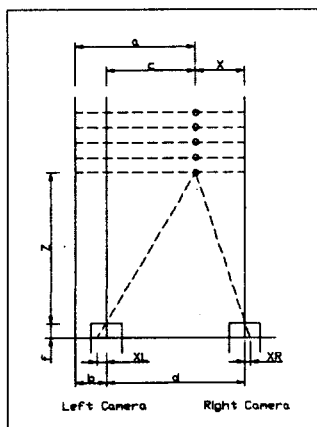


Fig. 4 The schematic diagram of image calibration (X axis)

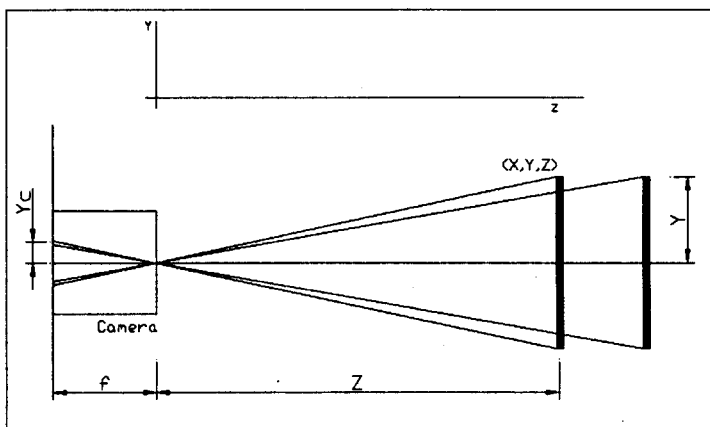


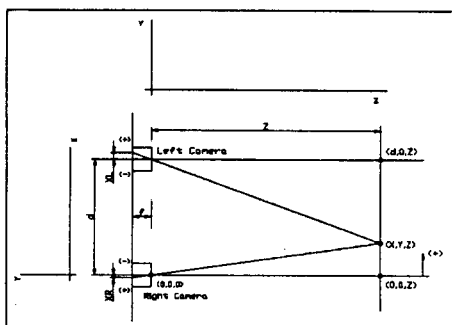
Fig. 5 The schematic diagram of image calibration (Y axis)

또한, Y축의 경우 그림 5에서 보는바와 같이 카메라의 수직 중앙으로부터 길이 20mm의 물체를 Z축을 변환(400, 450, 500, 550, 600mm)시켜 Z축값의 변화에 따른 이미지상의 20mm에 해당하는 픽셀수를 측정하였다. 각 Z축값에 따른 20mm에 해당하는 픽셀수로 20을 나눔으로서 Z축값에 따른 1 pixel당 실제거리를 산출할 수 있는 계산식을 얻어내었다

라. 소프트웨어 설계

1) X, Z축 악점 검출

그림 6의 스테레오 비전 시스템의 기하학적 구조(X, Z축)에서 살펴보면 삼각형의 닮음 조건으로 식(3)과 식(4)를 나타낼 수 있다. 여기서 식(3)과 식(4)를 같다고 보면 식(5)와 같은 식이 성립되어 Z축 악점을 얻을 수 있으며, 식(3) 또는 식(4)에서 X축 악점을 구할 수 있다. 여기서 X_L , X_R 은 X축 이미지 캘리브레이션 결과에서 나온 1 pixel당 실제거리를 pixel단위의 X_L , X_R 과 곱하여 실제 거리단위로 환산하여 계산에 사용하였다. 기본 좌표계는 직교좌표계를 사용하였고 두 카메라의 X축을 일치시켜 X축이 에피폴라 라인(epipola line)이 되도록 설정하였다.



$$X_L : f = d - X : Z$$

$$X = d - \frac{X_L \cdot Z}{f} \quad \text{----- 식(3)}$$

$$X_R : f = X : Z$$

$$X = \frac{X_R \cdot Z}{f} \quad \text{----- 식(4)}$$

$$\therefore Z = \frac{f d}{X_L + X_R} \quad \text{----- 식(5)}$$

Fig. 6 The schematic diagram of geometric construction of stereo vision system (X, Z axis)

2) Y축 악점 검출

Y축 악점의 계산은 식(5)에서 얻은 Z축값을 Y축 이미지 캘리브레이션에서 나온 계산식에 대입하여 Z축값에 따른 1 pixel당 실제 거리를 산출하였고, pixel 단위의 Y축 악점값과 이미지 중앙과의 차와 계산된 1 pixel당 실제 거리와의 곱으로 Y축 악점의 실제 거리를 산출하였다. 또한, 산출된 Y축 악점의 부호가 (+)일 경우에는 이미지 중앙 위쪽에 악점이 위치하고, (-)의 경우 이미지 중앙 아래쪽에 악점이 위치하는 것으로 판단하도록 하였다.

3) 이미지간의 식물 매칭방법 및 식물 줄기부 악점검출

본 연구에서는 왼쪽 카메라에서 얻은 이미지 정보와 오른쪽 카메라에서 얻은 이미지 정보에서 같은 식물을 찾아 내기 위해서, 두 이미지간의 매칭방법으로 각각의 식물별 라벨링을 실시하여 식물별 총 픽셀수, 잎 수, 식물 높이를 측정하여 두 이미지 간의 같은 식물을 찾아내었다. 먼저 총 픽셀수는 라벨링된 식물의 총 픽셀수를 세어서 비교하였다. 또한 잎수는 각 식물을 줄기부분과 잎부분으로 구분한 후 잎으로 판단된 부분의 개수를 세어 비교하였으며, 식물의 높이는 이미지에서 식물의 윗끝 픽셀좌표를 입력받아 두 이미지간에 분석을 하였으며 이 3가지 비교자료가 모두 일치할 때 같은 식물로 판단하였다.

식물줄기부 악점검출은 그림 7에서 보는바와 같이 Y축에 따른 X축의 표준편차로 줄기부분을 추출한 후 뿌리부분에 근접한 줄기부분에서 악점을 검출하였다. 각각 라벨링된 식물을 Y좌표에 따른 X

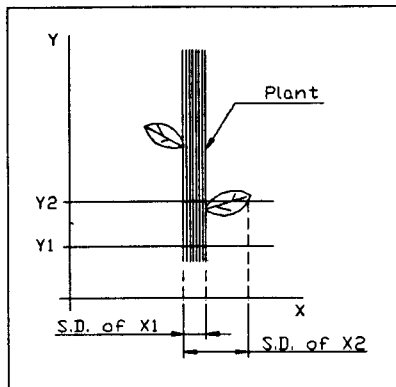


Fig. 7 The schematic diagram of detecting plant stem and gripping point

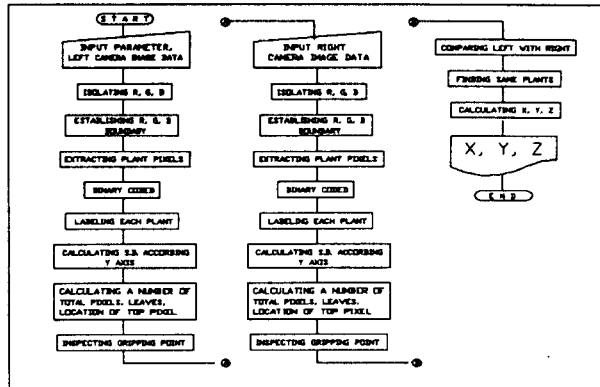


Fig. 8 The flow-chart of computer program for detecting gripping point

좌표의 평균 및 표준편차를 구하여 표준편차가 적정 한계이하일 경우에는 줄기부로 인식하고 적정 한계이상일 경우에는 잎이 있는 것으로 간주하여 줄기부를 추출하였다. 악점검출은 줄기부에서 마디 간격이 일정길이 즉, 로봇 그리퍼의 식물접촉부(식물을 잡는 부분, 8mm)의 폭보다 긴 부분을 선택하여 그 부분의 밑에서부터 식물접촉부 폭 만큼의 길이의 반을 악점의 Y축 좌표로 설정하였으며, 이때의 Y좌표에 해당하는 X좌표의 줄기부 평균을 악점의 X축 좌표로 설정하였다.⁴⁾ 여기서 설정된 X, Y값은 픽셀단위이기 때문에 오른쪽 카메라 렌즈의 중앙을 직교좌표계의 원점으로 설정하여 (X, Y, Z)좌표로 악점을 산출하였다. 식물줄기부 악점검출용 프로그램은 Microsoft社의 Visual Basic 5.0을 사용하여 개발하였으며, 그림 8은 식물줄기부의 3차원 악점 검출용 프로그램의 흐름도를 나타낸 것이다.

마. 식물줄기부의 3차원 악점검출 성능실험

1) 최적 인식거리 측정

본 연구에서는 연구에 사용된 시스템 및 식물 줄기부의 3차원 악점검출 프로그램의 성능을 실험하기 위하여 최적 인식거리를 측정하였다. 이미 알고있는 좌표(X, Y)에 물체를 위치시킨후 Z축 거리를 옮겨가며 실험하여 실제 거리 및 위치와 검출 결과를 비교하여 평균, 표준편차, 최대값, 최소값으로 나타내어 평균값이 가장 근사하고 표준편차가 가장 작은 부분을 최적 인식거리로 판단하였다.

2) 식물줄기부의 3차원 악점검출 성능실험

본 실험에서는 조직배양체 이식의 자동화를 위하여 교체한 배양용기에 임의로 3개의 식물을 배양시켜 실험에 사용하였다. 최적 인식거리 측정결과에서 나온 거리부근에 임의로 배양체가 심겨진 배양용기를 위치시킨후 오른쪽 카메라 렌즈 중앙을 원점(0, 0, 0)으로하여 3차원 악점을 길이단위(mm)로 검출하였고, 검출결과와 실제 위치를 비교·분석하였다.

3. 결과 및 고찰

가. 이미지 캘리브레이션 결과

1) X축 이미지 캘리브레이션 결과

본 연구는 입력받은 이미지정보를 통해 식물의 악점(握點)을 검출하는 것이 목적이며, 그에 따라 이미지정보상의 거리를 알아야 하기 때문에 이미지에 나타난 거리 1 pixel당 실제

Table 2 The result of image calibration (X axis)

Z (mm)	Left Image			Right Image		
	c (=a-b) (mm)	Pixel (num)	XL (mm)	X (=d-c) (mm)	Pixel (num)	XR (mm)
600	57	126	1.52	43	96	1.147
550		138	1.658		104	1.251
500		152	1.824		115	1.376
450		169	2.027		127	1.529
400		190	2.28		144	1.72
Result	0.012 mm/pixel			0.012 mm/pixel		

※ cf. Fig. 4

거리를 산출하였으며 그 산출 결과는 표 2와 같다. 왼쪽, 오른쪽 카메라 간격은 100mm일 때 인식영역이 가장 넓기 때문에 고정하여 사용하였다.²⁾

표 2에서 보듯이 Z값 변화에 상관없이 a, b, c, d 값이 일정할 경우 이미지 1 pixel당 실제 거리는 0.012mm로 나타났으며, 이는 512×480 pixel 이미지의 경우 X축 방향으로 6.144mm의 이미지 정보를 얻는다는 결과를 나타냈다.

2) Y축 이미지 캘리브레이션 결과

Y축 이미지 캘리브레이션 결과가 표 3과 같이 나타났으며, 물체가 카메라에 가까이 근접할수록 1 pixel당 실제거리가 크게 나타났다. 이미지 수직 중앙으로부터 길이 20mm의 물체를 Z축을 변환(400, 450, 500, 550, 600mm)시켜 Z축값의 변화에 따른 20mm의 픽셀수를 측정하였다. 각 Z축값에 따른 20mm에 해당하는 픽셀수로 20을 나누어 Z축값에 따른 1 픽셀당 실제거리를 산출하였다.

$$Y = \frac{20}{0.59447136 + \frac{33998.652}{Z}} \quad \text{--- 식(6)}$$

where, Y = the length per 1 pixel according to Z axis value (mm)

Z = Z axis value of gripping point attaining from eq(5) (mm)

Table 3 The result of image calibration (Y axis)

Z (mm)	20mm (the vertical length from center of image)	
	deviation from center (pixel)	difference of deviation
400	86	-
450	76	10
500	68	8
550	62	6
600	58	4

나. 식물줄기부의 3차원 악점검출 성능실험 결과

1) 최적 인식거리 측정 결과

본 연구의 시스템 및 식물 줄기부의 3차원 악점검출 성능을 실험하기 위하여 최적 인식거리를 측

Table 4 The result of recognition distance according to change Z value

Z (mm)	Mean (mm)	S.D.	Max. (mm)	Min. (mm)
600	605.3	2.20	608	601
550	549.7	1.41	552	548
500	497.9	1.92	501	496
450	449.1	1.73	452	447
400	401.7	1.52	403	398

정한 결과가 표 4에 나타나 있다. 이미 알고있는 좌표(X, Y)에 물체를 위치시킨후 Z축 거리를 옮겨가며 실험하여 실제 거리 및 위치와 검출 결과를 비교 하여 평균, 표준편차, 최대값, 최소값으로 나타내어 최적 인식거리를 산출하였다. 결과를 살펴보면 카메라 렌즈 중앙부터 Z축으로 멀어진 거리가 400mm에서 550mm 사이에서 실제거리와 근사한 값이 나왔으며, 표준편차가 가장 작은 550mm 부분을 최적 인식거리로 설정하였다.

2) 식물줄기부의 3차원 악점검출 성능실험 결과

본 실험에서는 조직배양체 이식의 자동화를 위하여 교체한 배양용기에 임의로 3개의 식물을 배양시켜 실험에 사용하였다. 최적 인식거리 측정결과에서 나온 Z축 거리 550mm 부근에 배양체가 심겨진 배양용기를 위치시킨후 오른쪽 카메라 렌즈 중앙을 원점(0, 0, 0)으로하여 3차원 악점을 길이단위(mm)로 검출하였다. 왼쪽, 오른쪽 카메라에서 받은 이미지정보에서 각 식물별 총 픽셀 수, 암수, 높이 등을 추출하여 두 이미지간 매칭작업을 하여 같은 식물을 판단하였으며, 식물의 줄기부를 검출하여 각 식물별 악점을 검출한 후, (X, Y, Z)좌표로 악점을 검출하였다. 배양체의 악점을 검출하는데 소요되는 시간은, 두 카메라에서 이미지를 받는 시간 각각 평균 1초, 악점검출 프로그램의 실행 시간 평균 1초로 평균 약 3초 정도의 악점검출 시간이 소요되었다.

그림 9에서는 식물 줄기부의 3차원 악점검출 프로그램 성능실험결과의 한 예를 보여주고 있다. 악점 검출 결과를 살펴보면 실제 측정거리와 X축은 0 ~ 1mm, Y축은 1 ~ 2mm, Z축은 1 ~ 2mm의 오차를 냈다. 이는 화소단위(pixel)로부터 길이단위(mm)로 환산할 때 반올림에의한 오차, 시스템 구성의 부정확성, 카메라 초점의 부정확 등에 따른 오차의 누적에 의해 일어난 오차라 사료된다.

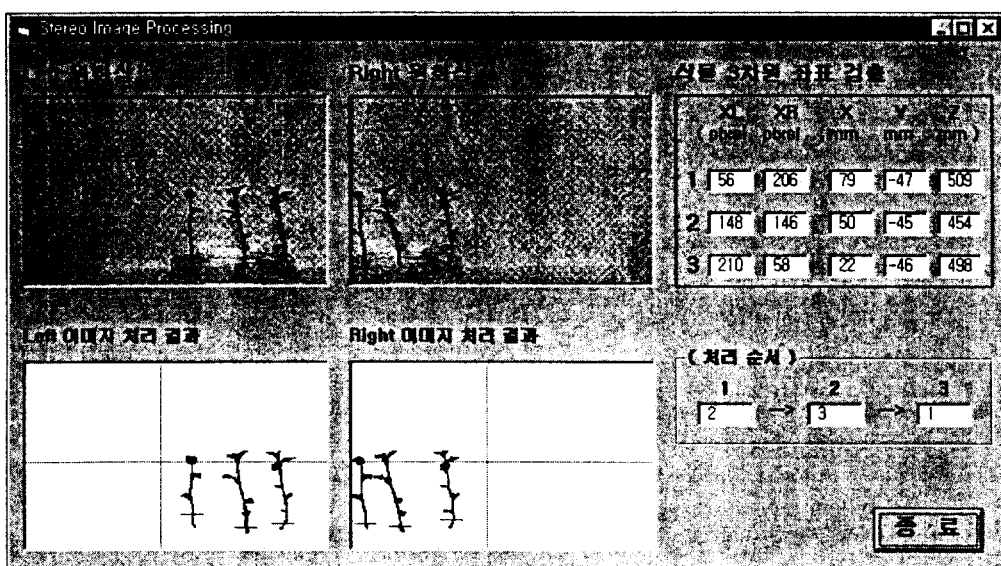


Fig. 9 The result of program detecting 3D - gripping point by stereo vision system

4. 요약 및 결론

조직배양에서는 이식과정이 필수적인 요소이지만 이 이식과정에서는 숙련된 노동자가 무균환경에서 작업을 행하기 때문에 생산비의 60 - 70%정도가 인건비로 소요된다. 따라서 생산비에서 차지하는 인건비를 감소시킴으로 인한 생산비의 감소를 위하여 조직배양체 이식의 자동화가 요구되고 있는 실정이다. 따라서 본 연구는 식물 조직배양의 생산비를 낮추기 위한 자동화의 하나인 조직배양체 이식을 위한 이식로봇 시스템의 개발에서 로봇 그리퍼가 집어야 할 식물줄기부의 3차원 악점(握點)을 검출하는데 목적이 있으며 연구결과는 다음과 같다.

- (1) 식물줄기부의 악점(握點)을 검출하기 위하여 카메라 2대를 이용한 스테레오 비전 시스템을 사용하였으며 카메라간 X축을 일치시켜 X축이 에피풀라 라인이 되도록 설정하였다.
- (2) 식물의 3차원 위치정보와 카메라 이미지정보간에 영향을 미치는 인자를 추출하기 위한 이미지 캘리브레이션을 수행한 결과 X축이 0.0125mm/pixel로 나타났으며, 최적 인식거리 측정결과 카메라 렌즈 중앙으로부터 550mm 떨어진 곳에서 최적 인식을 하였다.
- (3) 2대의 카메라에서 얻은 이미지정보간의 이미지 매칭방법으로는 각 식물별 총 픽셀 수, 잎 수, 식물 높이 등을 측정하여 두 이미지간의 같은 식물을 찾아내었으며, Y축에 따른 X축의 표준편차로 줄기부분을 추출한 후 뿌리부분에 근접한 줄기부분에서 악점을 검출하였다.
- (4) 식물줄기부 악점 검출용 프로그램 성능실험 결과, 실제 측정거리와 X축은 0 ~ 1mm, Y축은 1 ~ 2mm, Z축은 1 ~ 2mm의 오차를 냈으며, 악점검출 프로그램의 실행시간은 평균 약 3초 정도의 시간이 소요되었다.

이상의 결과에서 살펴보면, 실측거리와 검출거리의 오차는 화소단위(pixel)로부터 길이단위(mm)로 환산할 때 반올림에의한 오차, 시스템 구성의 부정확성, 카메라 초점의 부정확 등에 따른 오차의 누적에 의해 일어난 오차라 사료되며, 그에따른 보정이 된다면 보다 정확한 악점검출이 가능하리라 판단된다.

5. 참고 문헌

1. 김종준. 1994. 스테레오 비전시스템을 이용한 3차원물체의 인식에 관한 연구. 청주대학교 대학원
2. 손재룡 외3. 1997. 스테레오 영상처리를 이용한 토마토 위치검출 알고리즘 개발. 한국농업기계학회 1997년 동계학술대회 논문집 : 409-414
3. 송무섭. 1991. Stereo matching방법에 의한 물체의 거리측정에 관한 연구. 동아대학교 대학원
4. 이현동, 김기대, 김찬수. 1998. 조직배양체 이식로봇 시스템의 개발(I) : 소프트 그리퍼. 한국농업기계학회지 Vol. 23(5) : 491-498
5. 황현, 장영창, 임동혁. 1998. 컴퓨터 시각과 레이저 구조광을 이용한 물체의 3차원 정보추출. 한국농업기계학회지 Vol. 23(4) : 381-390
6. Vanderchaeghe, A. M. and P. C. Debergh. 1988. Automation of tissue culture manipulations in the final stages. ACTA horticulturae 227 : 399-401
7. Vandercook, C. E. and B. Tisserae. 1985. Development of an automated plant culture system. Plant Cell Tissue Organ Culture 5 : 107-117
8. Watake, H. and A. kinase. 1990. Robot for plant tissue culture. Robot No.64 : 74-79